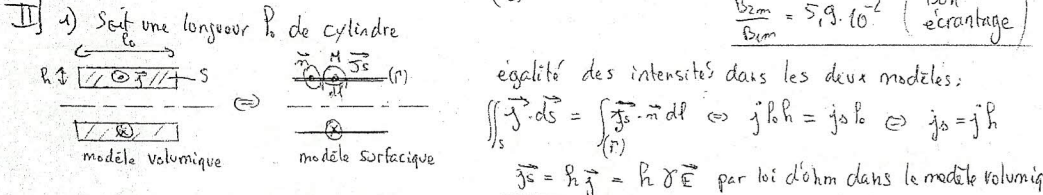


I] 1) a) cours:  $\vec{B}_1 = \mu_0 n_1 i \vec{u}_z$  à l'intérieur et  $\vec{B}_1 = 0$  à l'extérieur  
 b)  $\Phi_{propre} = \iint_S \vec{B}_1 \cdot d\vec{S}_1 = N_1 \iint_{S_{spire}} \vec{B}_1 \cdot d\vec{S}_1 = N_1 B_1 \pi r_1^2 = \mu_0 N_1^2 \pi r_1^2 i \stackrel{\text{def}}{=} L_1 i$   $L_1 = \frac{\mu_0 N_1^2 \pi r_1^2}{L}$   
 de même:  $L_2 = \frac{\mu_0 N_2^2 \pi r_2^2}{L} = 12 \text{ mH}$   
 c)  $\Phi_{1 \rightarrow 2} = M i$   $\Phi_{1 \rightarrow 2} = \iint_{S_2} \vec{B}_1 \cdot d\vec{S}_2 = N_2 \iint_{S_{spire}} \vec{B}_1 \cdot d\vec{S}_2$   
 $= N_2 \mu_0 n_1 \pi r_1^2 = \mu_0 N_1 N_2 \pi r_1^2$   $M = \frac{\mu_0 N_1 N_2 \pi r_1^2}{L}$

2) a) Fem totale induite dans  $\Sigma_2$ :  $e_2 = -M \frac{di_1}{dt} - L_2 \frac{di_2}{dt} = R i_2$  (bobine fermée sur sa résistance)  
 par faraday en complexes:  $e_2 = -M j \omega i_1 - L_2 j \omega i_2 = R i_2 \Leftrightarrow i_2 = \frac{-M j \omega i_1}{R + j \omega L_2}$   
 On trouve bien:  $i_2 = \frac{K j \frac{\omega}{\omega_c}}{1 + j \frac{\omega}{\omega_c}}$  avec  $K = \frac{-N_1}{N_2}$   $\omega_c = \frac{R}{L_2}$

b) A l'intérieur, on somme le champ créé par  $\Sigma_1$  et par  $\Sigma_2$ :  
 en MF  $\frac{\omega}{\omega_c} \gg 1$  et  $\vec{B}_2 \rightarrow 0$   
 L'amplitude de  $\vec{B}_2$  tend vers 0: on observe un écranage du champ de  $\vec{E}_1$  par  $\Sigma_2$  à l'intérieur de  $\Sigma_2$ .

c)  $\omega_c = \frac{R}{L} = 4,1 \cdot 10^3 \text{ rad/s}$   $I_2 = \frac{I_0 |K| \frac{\omega}{\omega_c}}{\sqrt{1 + (\frac{\omega}{\omega_c})^2}}$   $\omega = 2\pi f$  et  $\frac{\omega}{\omega_c} = 47$   $I_2 = 1,4 \text{ A}$   
 Amplitude de  $\vec{B}_2$ :  $B_{2m} = \frac{\mu_0 N_1 I_0}{L \sqrt{1 + (\frac{\omega}{\omega_c})^2}} = 2,6 \cdot 10^{-4} \text{ T}$   $B_{1m} = \frac{\mu_0 N_1 I_0}{L} = 4,4 \text{ mT}$   
 $\frac{B_{2m}}{B_{1m}} = 5,9 \cdot 10^{-2}$  (Bon écranage)



$\vec{j}$  et  $\vec{j}_s$  sont orthoradiaux, car ce sont des vrais vecteurs et ils obéissent à la loi de Curie: ils ont au moins la symétrie du phénomène qui les crée soit celle des courants de  $\Sigma_1$  ou le plan (axe, M) est un plan d'antisymétrie  $\rightarrow$  en M:  $\vec{j}$  et  $\vec{j}_s \perp$  plan (axe, M)  
 2) a) Un plan  $\perp$  axe est plan de symétrie des courants (tous les courants). Donc  $\vec{B} \perp$  au plan  $\vec{B} = B \vec{u}_z$   
 b) Entre  $r_1$  et  $r_2$  on retrouve le champ créé par  $\Sigma_1$  seul. En effet, le cylindre conducteur crée le même champ qu'un solénoïde, donc nul à l'extérieur ( $r > r_2$ )  $\vec{B}_e = \mu_0 n_1 i \vec{u}_z = \frac{\mu_0 N_1}{L} i \vec{u}_z$   
 c) C'est la superposition de 2 champs de solénoïdes uniformes tous deux dans cet espace.  
 d) Plan (axe, M) = plan d'antisymétrie des courants.  $\vec{E}(M) \perp$  plan donc  $\vec{E}$  orthoradial:  $\vec{E} = E \vec{u}_\rho$   
 pas de charge:  $\vec{E} = \vec{E}_m = -\frac{\partial \vec{A}}{\partial t}$ . sur un cercle (r) centré sur l'axe et orienté suivant  $\vec{u}_\phi$   
 $e = \int_{(r)} \vec{E}_m \cdot d\vec{l} = \int_{r_1}^{r_2} -\frac{\partial \vec{A}}{\partial t} \cdot d\vec{l} = \int_{\text{surface}} \text{rot}(-\frac{\partial \vec{A}}{\partial t}) \cdot d\vec{S} = -\frac{\partial}{\partial t} \iint_S \vec{B}_1 \cdot d\vec{S} = -\pi r^2 \frac{\partial B}{\partial t} = E 2\pi r$   
 en complexes:  $\vec{E} = -\frac{\partial \vec{B}_1}{\partial t} = -\frac{\partial}{\partial t} j \omega \vec{u}_z$

En  $r=r_2$ , au niveau du cylindre conducteur:  $\vec{E} = -\frac{r_2}{2} j \omega \vec{B}_1$  (4)

e) 
 On considère la surface du cylindre conducteur:  
 Dans le modèle surfacique:  $\vec{E}$  est tangentiel et continu  $\vec{E}(r=r_2) = \vec{E}(r>r_2)$   
 $\vec{B}$  est tangentiel et discontinu:  $\vec{B}_2 - \vec{B}_1 = \vec{B}_2 - \vec{B}_1 = \mu_0 \vec{j}_s \wedge \vec{u}_z$   
 avec  $\vec{j}_s = j_s \vec{u}_\phi$  on obtient sur  $\vec{u}_z$ :  $B_2 - B_1 = -\mu_0 j_s \Leftrightarrow B_1 = B_2 + \mu_0 j_s$   
 $= B_2 + \mu_0 h \delta E$   
 en complexes:  $\vec{B}_1 = \frac{\mu_0 N_1 i_0}{L} \vec{u}_z + \mu_0 h \delta (-\frac{r_2}{2} j \omega \vec{B}_1)$   $\Leftrightarrow \vec{B}_1 = \frac{B_2}{1 + j \omega \delta}$  et  $\vec{E} = \frac{\mu_0 h r_2}{2} \vec{B}_1$

f)  $B_{e,m} = \frac{\mu_0 N_1 I_0}{L} = 4,4 \text{ mT}$   $B_{i,m} = \frac{B_{e,m}}{\sqrt{1 + \omega^2 \delta^2}} = \frac{B_{e,m}}{\sqrt{1 + 4\omega^2 \delta^2 (\frac{\mu_0 h r_2}{2})^2}} = 0,99 \text{ mT}$   
 Intensité totale à travers la longueur L:  $i_2 = j_s L = \delta h E L = -\delta h L \frac{r_2}{2} j \omega \vec{B}_1$   
 amplitude  $I_2 = \delta h L r_2 \omega B_{i,m} = 680 \text{ A}$

on obtient une valeur élevée, mais du même ordre que  $N_2 I_2 = 700 \text{ A}$  en I] e)  
 L'écranage est dû aux courants de Foucault (intensité  $I_2$ ), qui suivant Lenz créent un champ propre qui s'oppose à  $\vec{B}_e$ : d'où cet effet d'écran.

3) a) le cylindre est équivalent à un solénoïde avec  $j_s = n i$  (cours)  
 $B_{int} = \mu_0 j_s = \mu_0 j h$  si  $r < r_2$   
 $B_{ext} = 0$  si  $r > r_2$   
 pour  $r_2 < r < r_2 + h$ , seul le  $j_s$  entre  $r_2$  et  $r$  est à prendre en compte:  $j_s' = j(r - r_2)$   
 $B = \mu_0 j_s' = \mu_0 j(r - r_2)$

b)  $I = j h L$   
 c)  $U_m = \iiint_{\text{espace}} \frac{B^2}{2\mu_0} d\tau = \iiint_{\text{intérieur}} \frac{B^2}{\mu_0} d\tau = \frac{(B_{int})^2}{2} \pi r_2^2 L = \frac{\mu_0 j^2 h^2 \pi r_2^2 L}{2} = \frac{\mu_0 j^2 L^2 I^2}{2}$   
 $L_2 = \frac{\mu_0 \pi r_2^2}{L}$

d)  $U = \int \vec{j} \cdot \vec{E} d\tau = \int j \delta E d\tau$  (avec  $\vec{j} = \delta \vec{E}$ ,  $\vec{E} = -\text{grad} V$ )  
 $I = j h L$   $R_2 = \frac{U}{I} = \frac{2\pi r_2}{\delta L h}$   
 On peut aussi utiliser la formule de la résistance d'un conducteur quasi-cylindrique  $R_2 = \frac{1}{\delta} \frac{\text{longueur}}{\text{section}}$

e)  $Z_c = \frac{L_2}{R_2} = \frac{\mu_0 \pi r_2^2}{L} \times \frac{\delta L h}{2\pi r_2} = \frac{\mu_0 \delta h r_2}{2} = Z = 6,3 \cdot 10^{-5} \Omega$   
 cette étude permet de mesurer  $Z$ .

DIFFRACTION 2.1. énoncé voir cours - contribution de Fresnel:

L'amplitude des sources secondaires est proportionnelle à la surface - les ondes secondaires sphériques se propagent jusqu'en M où elles interfèrent → intégrale de Fresnel

2.2) dans  $e^{ikz}$ ,  $kz$  est la phase de l'onde sphérique (partie spatiale)  
 $kz - \omega t \rightarrow$  propa vers les  $x$  croissants.  $\frac{1}{z}$ : terme de diminution d'amplitude des ondes sphériques  
 $cds/\lambda^2$  sans dimension →  $C$  en  $m^{-1}$

$$r^2 = \overline{PM}^2 = (\overline{OM} - \overline{OP})^2 = R^2 + OP^2 - 2R \overline{e} \cdot \overline{OP} \quad \text{avec } OP \ll R \text{ (Fraunhofer)}$$

$$r \approx R (1 - \frac{\overline{e} \cdot \overline{OP}}{R}) = R - \overline{e} \cdot \overline{OP} \quad \text{De plus } \frac{1}{z} \approx \frac{1}{R} \text{ d'où le résultat avec: } \underline{K} = \frac{C e^{i\pi R}}{R}$$

en exprimant  $\overline{r} \cdot \overline{OP} \rightarrow \underline{\Psi}(u, v) = \underline{K} \iint_D \underline{\Psi}_0(P) e^{-2j\pi(xu + vy)} dx dy$  et  $I = \underline{\Psi} \underline{\Psi}^* / 2$  (en  $m^{-2}$ )

2.3) Avec le dispositif proposé arrive sur le diaphragme une onde plane parallèle à l'axe

Donc  $\underline{\Psi}_0(P) = C \underline{e}$  sur l'ouverture et sort de l'intégrale.

$$\underline{\Psi}(u, v) = \underline{K} \underline{\Psi}_0(P) \int_{-\frac{a}{2}}^{\frac{a}{2}} e^{-2j\pi ux} dx \int_{-\frac{b}{2}}^{\frac{b}{2}} e^{-2j\pi vy} dy = \frac{\underline{K} \underline{\Psi}_0(P) ab}{\pi u a \pi v b} \left[ \frac{\sin(\pi u a)}{\pi u a} \frac{\sin(\pi v b)}{\pi v b} \right]$$

$$I(u, v) = \frac{C_0^2 C_0^2}{2} \frac{\sin^2 U}{U^2} \frac{\sin^2 V}{V^2} \quad (C_0 = \underline{K} \underline{\Psi}_0 ab) \quad (U = \pi u a \text{ et } V = \pi v b)$$

2.3.1) → il faut décomposer l'intégrale en 3 morceaux correspondant aux 3 domaines de  $x$ :

$$\iint_D \underline{\Psi}(P) e^{-2j\pi(xu + vy)} dx dy = \int_{-\frac{b}{2}}^{\frac{b}{2}} e^{-2j\pi vy} dy \left[ \int_{-\frac{a}{2}}^{-\frac{a}{4}} e^{-2j\pi ux} dx + \int_{-\frac{a}{4}}^{\frac{a}{4}} e^{j\pi} e^{-2j\pi ux} dx + \int_{\frac{a}{4}}^{\frac{a}{2}} e^{-2j\pi ux} dx \right]$$

$$\underline{\Psi}(u, v) = \underline{K} b \underline{\Psi}_0(P) \frac{\sin V}{V} \left[ \frac{a}{4} e^{3j\pi \frac{ua}{4}} \frac{\sin(\pi ua/4)}{(\pi ua/4)} + \frac{a}{2} \frac{\sin(\pi ua/2)}{(\pi ua/2)} + \frac{a}{4} e^{-3j\pi \frac{ua}{4}} \frac{\sin(\pi ua/4)}{(\pi ua/4)} \right]$$

$$= \underline{K} ab \underline{\Psi}_0(P) \frac{\sin V}{V} \frac{2}{\pi ua} \sin(\pi ua/4) \left[ \cos \frac{3\pi ua}{4} - \cos \frac{\pi ua}{4} \right] \quad \left[ \underline{\Psi}'(u, v) = -2 \frac{C_0^2}{2} \frac{\sin V}{V} \frac{\sin(\pi/2)}{(V/2)} \left( 1 - \cos^2 \frac{U}{4} \right) \right]$$

$$I(u, v) = 2 \frac{C_0^2}{2} \frac{\sin^2 V}{V^2} \frac{\sin^2(U/2)}{(U/2)^2} \left[ 1 - \cos^2 \left( \frac{U}{4} \right) \right]^2$$

2.4) Remplacer  $\int_{-\frac{a}{2}}^{\frac{a}{2}}$  par  $\int_{x_0 - \frac{a}{2}}^{x_0 + \frac{a}{2}}$

$$\rightarrow \underline{\Psi}_0(u, v) = \underline{\Psi}(u, v) e^{-2j\pi ux_0}$$

Simple déphasage de  $-2\pi ux_0 \rightarrow I_0(u, v) = I(u, v)$

$$2.4.2) \underline{\Psi}_1(u, v) = \underline{\Psi}(u, v) e^{-2j\pi v d}$$

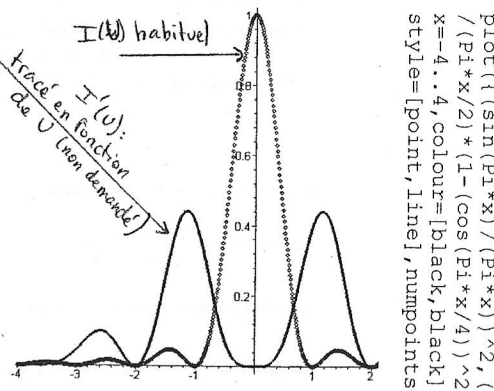
$$\underline{\Psi}_2(u, v) = \underline{\Psi}(u, v) e^{2j\pi v d}$$

$$\rightarrow \underline{\Psi}'' = \underline{\Psi}_1 + \underline{\Psi}_2 = \underline{\Psi} 2 \cos(2\pi v d)$$

$$\rightarrow I'' = I 4 \cos^2(2\pi v d) = 2I (1 + \cos 4\pi v d)$$

$$I''_0 = \frac{C_0^2 C_0^2}{2} f(u) = \frac{\sin^2 U}{U} \quad g(v) = \frac{\sin^2 V}{V^2} (1 + \cos 4\pi v d)$$

2.4.3)  $g(v)$  est le produit de l'enveloppe de diffraction (qui donne  $a$ ) d'une fente  $\frac{\sin^2 V}{V^2}$  et de la fonction d'interférence à 2 ondes  $1 + \cos 4\pi v d \rightarrow$  ces franges permettent de déterminer  $d$



```
plot((sin(pi*x))/(pi*x)^(2), (2*sin(pi*x/2))/(pi*x/2) * (1 - cos(pi*x/4))^(2), x=-4..4, colour=[black, black], style=[point, line], numpoints=800);
```